

Robotkarok dinamikus modellje

A robotok dinamikus modellje a robot csuklóinak pozíciója, sebessége, gyorsulása illetve a robotra ható erők között adja meg az összefüggést. A modellezés során feltételezzük, hogy az egymáshoz csatolt robotszegmensek merev testekként modellezhetők. A modellben bemenetként a robot beavatkozói által kifejtett erőket/nyomatékokat ($\tau \in R^n$), kimenetként pedig a robot csuklóinak a lineáris- illetve szögpozícióit ($q \in R^n$) tekintjük. Itt n a robot szabadságfokát jelöli. A fejezet a dinamikus modell meghatározása előtt, áttekinti a mozgástörvényeket valamint azokat az erőket, amelyek felléphetnek a modellben robot szabad mozgása esetében. A robot dinamikus modelljét a robot energiái alapján, az Euler –Lagrange egyenletet felhasználva írjuk fel.

A merev testek mozgása

Egy merev test középpontjának *térbeli mozgását* Newton második törvényének segítségével írhatjuk le:

$$m\ddot{\mathbf{x}} = \sum_k \mathbf{F}_k(\mathbf{x}, \dot{\mathbf{x}}) \quad (1)$$

m a merev test tömege, $\mathbf{x} = (x \ y \ z)$ a 3 pozíciókomponens a 3 tengely mentén, \mathbf{F}_k a három tengely mentén ható erők (függhetnek a pozíció- és sebességvektoroktól)

Merev testek *forgómozgását* az Newton-Euler egyenlet segítségével írhatjuk le. A forgómozgás mindig egy tengelyhez képest definiáljuk. Ebben az esetben a test tömege helyett a tehetetlenségi mátrixot kell alkalmazni.

A forgó mozgás dinamikáját egy rögzített tengely körül az alábbi egyenlet írja le:

$$I\dot{\omega} = \sum_k \tau_k(\alpha, \omega) \quad (2)$$

Az egyenletben α jelöli a szögelfordulást, ω a szögsebességet I pedig a skalár tehetetlenségi nyomatékot.

Konstans sűrűségű merev testek esetében az tehetetlenségi nyomatékot az alábbi formában számíthatjuk:

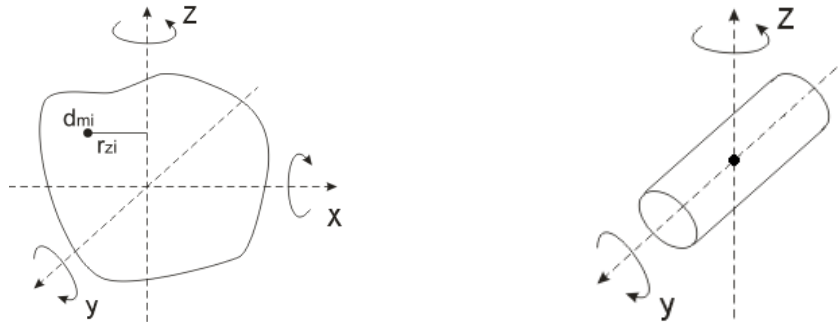
$$I = \int_V r^2 dm \quad (3)$$

Az egyenletben r a dm elemi tömeg távolságát jelöli a forgástengelytől (lásd 1. Ábra). Az integrálást a test teljes V térfogatán végezzük. Amennyiben a vizsgált rendszer N darab m_k tömegű anyagi pontból áll, amelyek r_k távolságra vannak a forgástengelytől, akkor a tehetetlenségi nyomaték

$$I = \sum_{k=1}^N m_k r_k^2 \quad (4)$$

Az tehetetlenségi nyomaték pozíciófüggő, ezért ha egy robot mozog, a robot szegmensek inerciája minden pillanatban más és más lehet a csuklópozícióktól függően.

Az 1. Ábrán látszik, hogy a különböző forgástengelyek mentén az inercia különböző értéket vehet fel (I_x , I_y , I_z). Például egy rúd másképp ellenszegül a rá ható forgónyomatéknak az y - és másképp a z tengely mentén.



1. Ábra: Merev testek forgása

Fontos példák:

- a) Egy m tömegű anyagi pont tehetetlenségi nyomatéka, ha a z tengelytől r távolságra van

$$I_z = m \cdot r^2 \quad (5)$$

- b) Henger inerciája a hossztengelye mentén

$$I_z = \frac{m \cdot r^2}{2} \quad (6)$$

r a henger sugarát, m a tömegét jelöli.

- c) Rúd inerciája az egyik végén áthaladó, hossztengelyre merőleges tengely mentén

$$I_z = \frac{m \cdot l^2}{3} \quad (7)$$

l a rúd hosszát, m a tömegét jelöli.

A szabad mozgást végző robotra ható erők, forgatónyomatékok

I. A beavatkozók által kifejtett erők/forgatónyomatékok: A robotkarok mozgása esetében az ellenőrzött (az irányítási algoritmus által előírt) erőhatást a beavatkozók által kifejtett erők jelentik. Ennek segítségével kell kompenzáljuk a többi, mozgás közben létrejövő erőhatást úgy, hogy a robot az elvárt módon mozogjon. A robotok csuklóját általában motorokkal vagy hidraulikus, pneumatikus beavatkozókval szereljük fel. Transzlációs csuklók mozgásához erőhatásra, rotációs csuklók esetében forgatónyomatékokra van szükség. Forgatónyomatékot erővé illetve erő forgatónyomatékká megfelelő áttételekkel átalakíthatunk. Az áttételeket a beavatkozó és a robotok szegmense közé szereljük.

A τ_k forgatónyomaték az erőnek egy adott középpontra való forgatóképessége, egyenlő az erő F_k és a középpontból az erő támadáspontjába tartó pozícióvektor (r_k) vektoriális szorzatával ($\tau_k = r_k \times F_k$).

II. *Centrifugális erő*: forgó testre ható tehetetlenségi erő. Az m tömegű anyagi pontra ható centrifugális erő, amelynek \mathbf{r} a forgástengelytől számított helyzetvektora és ω szögsebességgel forog:

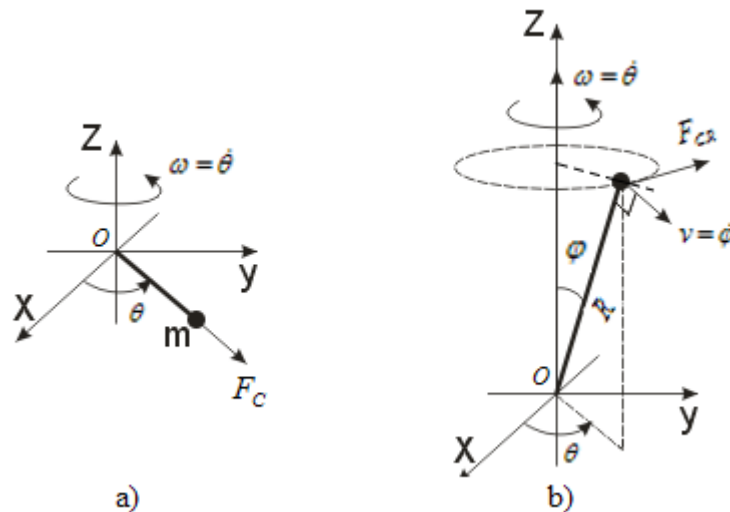
$$\mathbf{F}_C = m\omega^2 \mathbf{r} \quad (8)$$

Íránya megegyezik \mathbf{r} irányával, lásd a 2.a. Ábrát.

III. *Coriolis erő*: forgó vonatkoztatási rendszerben mozgó testre ható tehetetlenségi erő. Feltételezzük, hogy egy R hosszúságú rúd végén m tömegű anyagi pont van. A rúd egyik vége rögzítve van, a rúd ω szögsebességgel forog (lásd 2.b Ábra). Ugyanakkor a rúd vége v sebességgel mozog (közeledik vagy távolodik a z tengelyhez). Ebben az esetben a Coriolis erő:

$$\mathbf{F}_{CR} = -2m\boldsymbol{\omega} \times \mathbf{v} \quad (9)$$

Az ábrán látható példában $F_{CR} = -2m \cdot \omega \cdot v \cdot \cos \varphi = -2m \cdot \dot{\theta} \cdot R \cdot \dot{\varphi} \cdot \cos \varphi$, iránya merőleges az (ω, z) síkra.



2 Ábra: a) centrifugális erő b) Coriolis erő szemléltetése

IV. *Gravitáció*: A Föld felszínén egy m tömegű testre ható gravitációs erő:

$$\mathbf{G} = m\mathbf{g} \quad (10)$$

ahol \mathbf{g} a gravitációs gyorsulást jelöli, amely mindig a Föld felszíne fele mutat és nagysága $g \approx 9.81$.

Merev test esetében a *gravitáció* a tömegközéppontban hat. Ez merev test esetében mindig egy rögzített pont a testhez képest. Homogén rúd esetében például mindig a rúd geometriai középpontjában van. Általában a tömegközéppont \mathbf{R} helyzetvektora:

$$\mathbf{R} = \frac{1}{m} \int_V \mathbf{r} dm \quad (11)$$

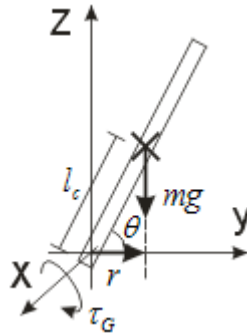
Ez N anyagi pontból álló mechanikai rendszer esetében:

$$\mathbf{R} = \frac{1}{\sum_{k=1}^N m_i} \sum_{k=1}^N m_i \mathbf{r}_i \quad (12)$$

Példa: A végén rögzített rúdra a gravitációs erő által kifejtett forgatónyomatékának nagysága (3. Ábra)

$$\tau_G = r \cdot m \cdot g = m \cdot g \cdot l_c \cdot \cos(\theta) \quad (13)$$

l_c – a rúd tömegközéppontjának távolsága a rögzítési ponttól.



3 Ábra: Gravitáció által kifejtett, a végénél rögzített rúdra ható nyomaték

V. *Súrlódási erő:* Két érintkező, egymáshoz képest mozgó felület között megjelenő, a mozgásnak ellenszegülő erő. Robotok esetében a súrlódás általában a beavatkozókban, valamint az áttételekben lép fel. Több súrlódási modell létezik:

a) *Coulomb modell* (4.a Ábra): Száraz felületek esetében alkalmazott modell, csak a sebesség előjelétől függ:

$$F_f = F_c \cdot \text{sgn}(v) \quad (14)$$

$F_c > 0$ a Coulomb súrlódási együttható, amely a felületektől, a felületekre ható nyomóerőtől függ.

b) *Coulomb + viszkózus modell* (4.b Ábra): Nedves felületek esetében, például ha a súrlódó felületek kenőanyaggal (olajjal vagy gépszírral) vannak kenve, megjelenik egy sebességgel arányos komponens is:

$$F_f = F_c \cdot \text{sgn}(v) + F_v \cdot v \quad (15)$$

$F_v > 0$ a viszkózus súrlódási együttható, amely az alkalmazott kenőanyagtól függ.

c) *Coulomb + viszkózus + statikus modell* (4.c ábra): A statikus komponens az az erőkomponens, amely ahhoz szükséges, hogy a testet kilehessen mozdítani nyugalmi állapotából. A modellbe az alábbi módon vezethető be:

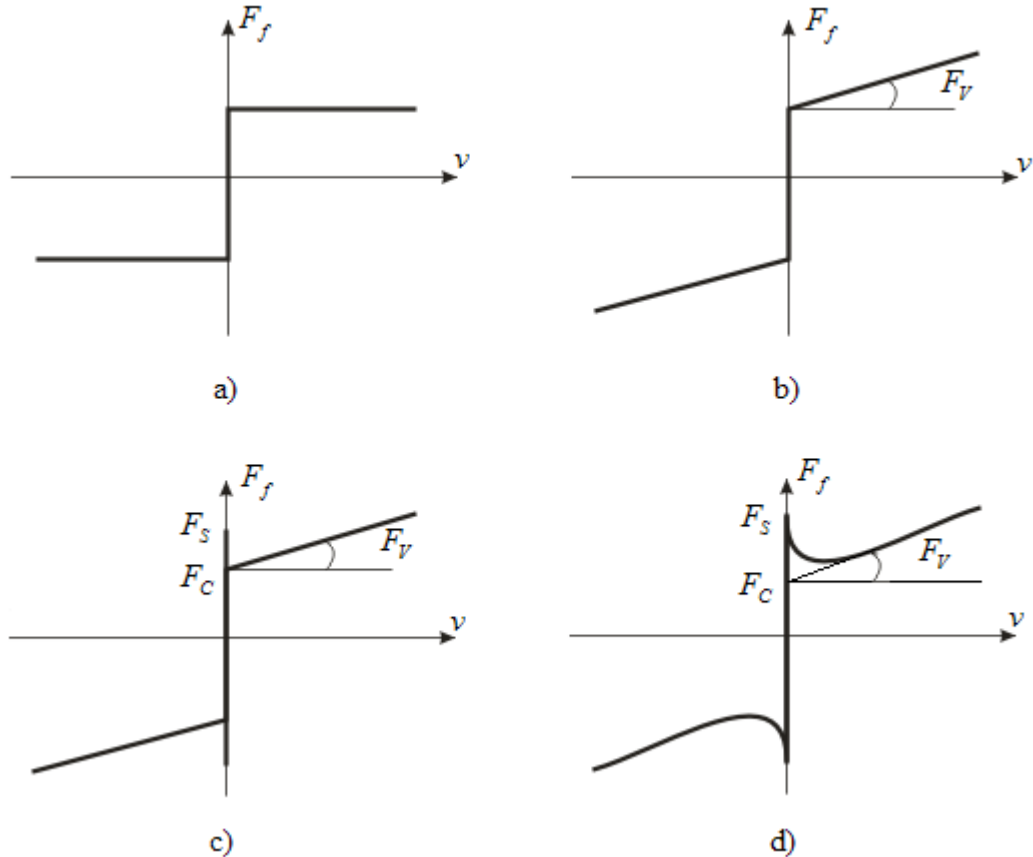
$$F = ((F_S - F_c) \eta(v) + F_c) \text{sign}(v) + F_v v, \quad \eta(v) = \begin{cases} 1, v = 0 \\ 0, v \neq 0 \end{cases} \quad (16)$$

A statikus együttható ($F_S > 0$) értéke általában nagyobb a Coulomb együttható értékénél.

- d) *Stribek súrlódási modell* (4.d ábra): Alacsony sebességek tartományában pontosabban leírja a súrlódási hatást. Az alacsony sebességek tartományában az áttérés a statikusról a Coulomb súrlódásra valójában egy folyamatos és nem ugrásszerű jelenség, mint a c) modellben:

$$F_f = ((F_S - F_C)e^{-\frac{v}{v_S}} + F_C) \text{sign}(v) + F_V v \quad (17)$$

A modellben $v_s > 0$ a Stribeck sebesség paramétert jelöli.



4 Ábra: Súrlódási modellek

A robotkarok energiája

A *kinetikus (mozgási) energia*: mozgásban levő testeke energiája. Egy m tömegű test energiája, amelynek a tömegközéppontja v sebességgel mozog:

$$K = \frac{mv^2}{2} \quad (18)$$

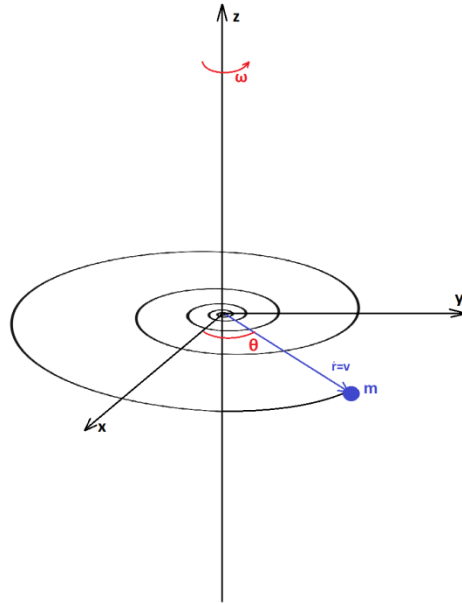
Ha egy merev test forog, a forgó mozgásból adódó kinetikus energia:

$$K = \frac{J\omega^2}{2} \quad (19)$$

Több mozgó elemből álló rendszer kinetikus energiája az elemek egyenkénti kinetikus energiájának az összege:

$$K = \sum_i K_i \quad (20)$$

Példa: Az origótól távolodó z tengely körül forgó test kinetikus energiája



5. Ábra: Origótól távolodó z tengely körül forgó test kinetikus energiája

Pozíció és sebesség vektorok:

$$\mathbf{q} = \begin{pmatrix} \theta \\ r \end{pmatrix}, \dot{\mathbf{q}} = \begin{pmatrix} \omega \\ v \end{pmatrix} = \begin{pmatrix} \dot{\theta} \\ \dot{r} \end{pmatrix} \quad (21)$$

A kinetikus energia:

$$K = \frac{mv^2}{2} + \frac{J\omega^2}{2} = \frac{m\dot{r}^2}{2} + \frac{mr^2\dot{\theta}^2}{2} \quad (22)$$

Ugyanez kvadratikus alakban:

$$K = \frac{1}{2} \begin{pmatrix} r & \theta \end{pmatrix} \begin{pmatrix} m & 0 \\ 0 & mr^2 \end{pmatrix} \begin{pmatrix} \dot{r} \\ \dot{\theta} \end{pmatrix} \quad (23)$$

Általában egy mechanikai rendszer kinetikus energiája az alábbi kvadratikus alakban írható fel:

$$K = \frac{1}{2} \dot{\mathbf{q}}^T H(\mathbf{q}) \dot{\mathbf{q}} \quad (24)$$

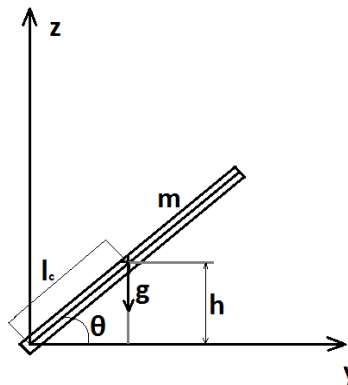
$H(\mathbf{q})$ a mechanikai rendszer pozitív definit tehetetlenségi mátrixa, amely függhet a pozícióvektortól.

A *potenciális (helyzeti) energia*: a gravitáció robotra gyakorolt hatása miatt jön létre. Ezt mindig egy nulla energiájú referencia szinthez képtest definiáljuk. Egy m tömegű test potenciális energiája, amely h magasságra van a referenciaszinthez:

$$P = mgh \quad (25)$$

Példa: végén rögzített rúd potenciális energiája (6. Ábra). Jelölje rúd – vízszintes tengely közötti szöget $q = \theta$. A potenciális energia:

$$P = mgh = mgl_c \sin(\theta) = mgl_c \sin(q) \quad (26)$$



6. Ábra: Végén rögzített rúd potenciális energiája

A potenciális energia általában is pozíciófüggő:

$$P = P(\mathbf{q}) \quad (27)$$

Akárcsak a kinetikus energiánál több testből álló rendszer potenciális energiája egyenlő a testek potenciális energiáinak összegével.

$$P = \sum_i P_i \quad (28)$$

A robotok dinamikus modellje

A dinamikus modell meghatározásához az Euler-Lagrange egyenletből indulunk ki:

$$\frac{d}{dt} \left(\frac{\partial L}{\partial \dot{\mathbf{q}}} \right) - \frac{\partial L}{\partial \mathbf{q}} = \boldsymbol{\tau} \quad (29)$$

Az egyenletben $\boldsymbol{\tau}$ a bemeneti hatás (általánosított erővektor), robotok esetében a beavatkozók által kifejtett erők/nyomatékok vektora.

Az L Lagrange függvény a robot kinetikus és potenciális energiáinak különbsége:

$$L = K - P \quad (30)$$

Alkalmazva a (24) és (27) összefüggéseket, a Lagrange függvény

$$L = \frac{1}{2} \dot{\mathbf{q}}^T H(\mathbf{q}) \dot{\mathbf{q}} - P(\mathbf{q}) \quad (31)$$

Oldjuk meg az Euler-Lagrange egyenletet a (31) Lagrange függvényre:

$$\begin{aligned} \frac{\partial L}{\partial \dot{\mathbf{q}}} &= H(\mathbf{q}) \dot{\mathbf{q}} \\ \frac{d}{dt} \left(\frac{\partial L}{\partial \dot{\mathbf{q}}} \right) &= \dot{H}(\mathbf{q}) \dot{\mathbf{q}} + H(\mathbf{q}) \ddot{\mathbf{q}} \\ \frac{\partial L}{\partial \mathbf{q}} &= \frac{1}{2} \frac{\partial}{\partial \mathbf{q}} \left(\dot{\mathbf{q}}^T H(\mathbf{q}) \dot{\mathbf{q}} \right) - \frac{\partial P}{\partial \mathbf{q}} \end{aligned}$$

Behelyettesítve a komponenseket Euler-Lagrange egyenletbe kapjuk:

$$H(\mathbf{q}) \ddot{\mathbf{q}} + \dot{H}(\mathbf{q}) \dot{\mathbf{q}} - \frac{1}{2} \frac{\partial}{\partial \mathbf{q}} \left(\dot{\mathbf{q}}^T H(\mathbf{q}) \dot{\mathbf{q}} \right) + \frac{\partial P}{\partial \mathbf{q}} = \boldsymbol{\tau} \quad (32)$$

Vezessük be az alábbi jelöléseket:

$$\begin{aligned} \mathbf{C}(\mathbf{q}, \dot{\mathbf{q}}) &= \dot{H}(\mathbf{q}) \dot{\mathbf{q}} - \frac{1}{2} \frac{\partial}{\partial \mathbf{q}} \left(\dot{\mathbf{q}}^T H(\mathbf{q}) \dot{\mathbf{q}} \right) \\ \mathbf{G}(\mathbf{q}) &= \frac{\partial P}{\partial \mathbf{q}} \end{aligned}$$

Ebből következik a robotkarok dinamikus modellje:

$$H(\mathbf{q}) \ddot{\mathbf{q}} + \mathbf{C}(\mathbf{q}, \dot{\mathbf{q}}) + \mathbf{G}(\mathbf{q}) = \boldsymbol{\tau} \quad (33)$$

Az egyenletben

H – a robotkar tehetetlenségi mátrixa

\mathbf{C} – Cetrifugális és a Coriolis erők vektora

\mathbf{G} – a gravitációs erő hatása

A merev, nyílt láncú robotok dinamikus modellje az alábbi tulajdonságokkal rendelkezik:

I. A tehetetlenségi mátrix mindig szimmetrikus és pozitív definit:

$$H(\mathbf{q}) > 0 \quad (34)$$

II. A C vektor mindig felírható az alábbi alakban:

$$C(\mathbf{q}, \dot{\mathbf{q}}) = C(\mathbf{q}, \dot{\mathbf{q}})\dot{\mathbf{q}} \quad (35)$$

Ahol a C mátrixra és a tehetetlenségi mátrixra mindig igaz, hogy $\dot{M} - 2C$ ferdén szimmetrikus, vagyis bármely \mathbf{x} vektorra igaz, hogy

$$\mathbf{x}^T (\dot{M} - 2C)\mathbf{x} = 0 \quad (36)$$

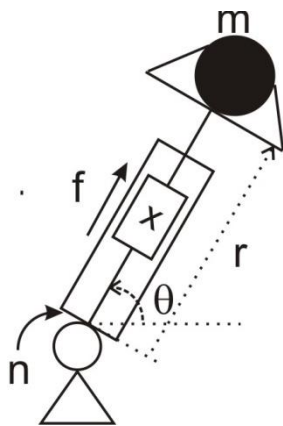
A II. tulajdonság alapján a dinamikus robotmodell:

$$H(\mathbf{q})\ddot{\mathbf{q}} + C(\mathbf{q}, \dot{\mathbf{q}})\dot{\mathbf{q}} + \mathbf{G}(\mathbf{q}) = \boldsymbol{\tau} - \boldsymbol{\tau}_F \quad (37)$$

A fenti modell figyelembe veszi súrlódási hatásokat is ($\boldsymbol{\tau}_F$), amelyek a beavatkozókban, áttételekben lépnek fel.

Példa: Két-szabadságfokú RT kar dinamikus modellje.

Legyen az ábrán látható két-szabadságfokú kar egy rotációs (R) és egy translációs (T) csuklóval.



Legyen a csuklópozíciók és csuklósebességek vektora:

$$\mathbf{q} = \begin{pmatrix} \theta \\ r \end{pmatrix}, \quad \dot{\mathbf{q}} = \begin{pmatrix} \dot{\theta} \\ \dot{r} \end{pmatrix}$$

ahol θ az első, rotációs csukló szögelfordulása, r a második, translációs csukló pozíciója.

Legyen n a rotációs csukló beavatkozója által kifejtett nyomaték és f a translációs csukló beavatkozója által kifejtett erő. Ezekkel a jelölésekkel a robot általánosított bemeneti erővektora:

$$\boldsymbol{\tau} = \begin{pmatrix} n \\ f \end{pmatrix}.$$

Legyen a robot által mozgatott pontszerű tárgy tömege m . Feltételezzük, hogy a robotszegmens tömege elhanyagolható m -hez képest.

A dinamikus modell meghatározásához az Euler-Lagrange formalizmust alkalmazzuk.

A robot kinetikus energiája:

$$K = \frac{1}{2}mr^2\dot{\theta}^2 + \frac{1}{2}m\dot{r}^2$$

A robot potenciális energiája:

$$P = mgr \sin(\theta)$$

A Lagrange függvény:

$$L = K - P = \frac{1}{2}mr^2\dot{\theta}^2 + \frac{1}{2}m\dot{r}^2 - mgr \sin(\theta)$$

Az Euler-Lagrange egyenlet

$$\frac{d}{dt} \left(\frac{\partial L}{\partial \dot{\mathbf{q}}} \right) - \frac{\partial L}{\partial \mathbf{q}} = \boldsymbol{\tau}$$

Az RT robot esetén az egyenlet komponensei:

$$\frac{\partial L}{\partial \dot{\mathbf{q}}} = \begin{pmatrix} \frac{\partial L}{\partial \dot{\theta}} \\ \frac{\partial L}{\partial \dot{r}} \end{pmatrix} = \begin{pmatrix} mr^2\dot{\theta} \\ m\dot{r} \end{pmatrix}$$

$$\frac{d}{dt} \left(\frac{\partial L}{\partial \dot{\mathbf{q}}} \right) = \begin{pmatrix} mr^2\ddot{\theta} + 2mr\dot{r}\dot{\theta} \\ m\ddot{r} \end{pmatrix}$$

$$\frac{\partial L}{\partial \mathbf{q}} = \begin{pmatrix} \frac{\partial L}{\partial \theta} \\ \frac{\partial L}{\partial r} \end{pmatrix} = \begin{pmatrix} -mgr \cos(\theta) \\ mr\dot{\theta}^2 - mgr \sin(\theta) \end{pmatrix}$$

Behelyettesítve a komponenseket az egyenletbe kapjuk a robot dinamikus modelljét:

$$\begin{cases} mr^2\ddot{\theta} + 2mr\dot{r}\dot{\theta} + mgr \cos(\theta) = n \\ m\ddot{r} - mr\dot{\theta}^2 + mg \sin(\theta) = f \end{cases}$$

A modellben az $2mr\dot{r}\dot{\theta}$ komponens a Coriolis erő hatását, a $mr\dot{\theta}^2$ komponens a centrifugális erő hatását jelöli.

A modell standard alakban felírva:

$$H(\mathbf{q})\ddot{\mathbf{q}} + \mathbf{C}(\mathbf{q}, \dot{\mathbf{q}}) + \mathbf{G}(\mathbf{q}) = \boldsymbol{\tau}$$

ahol

$$H(\mathbf{q}) = \begin{pmatrix} mr^2 & 0 \\ 0 & m \end{pmatrix}$$

$$\mathbf{C}(\mathbf{q}, \dot{\mathbf{q}}) = \begin{pmatrix} 2mr\dot{\theta} \\ -mr\dot{\theta}^2 \end{pmatrix}$$

$$\mathbf{G}(\mathbf{q}) = \begin{pmatrix} mgr \cos(\theta) \\ mg \sin(\theta) \end{pmatrix}$$

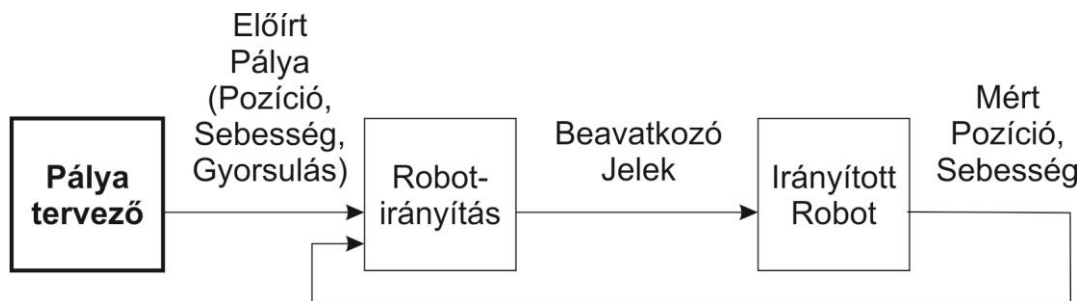
Pályatervezés robotkaroknak

Pályatervezési alapfogalmak

Pályatervező a robotok *előírt mozgását* határozza meg. A pálya a robot térbeli mozgását definiálja az idő függvényében. Ez előírt térbeli pozíció és orientáció mellett megadjuk az előírt sebességet és gyorsulást is.

A pályatervezési modul helyét a robotirányítási rendszerben az 1. Ábra mutatja. A pályatervező bemenete a felhasználó által definiált mozgásszekvencia, amit például egy robotprogramozási nyelv segítségével ír le. A robotprogramozási nyelv utasításait a robotirányítási szoftver interpretálja és a kapott adatok alapján határozza meg a pályát. Tipikus bemeneti adatok a pályatervezőbe: a térbeli pontsorozat (pályapontok), amin a robot át kell haladjon; az orientáció egy-egy adott pályapontban; hogyan mozogjon a robot két pályapont között; mennyi legyen a sebesség és gyorsulás egy-egy adott pályaszakaszon.

A pályatervező kimenete az előírt pozíció-, sebesség- és gyorsulásértékek a robotirányítási algoritmusnak (lásd az 1. Ábrát).

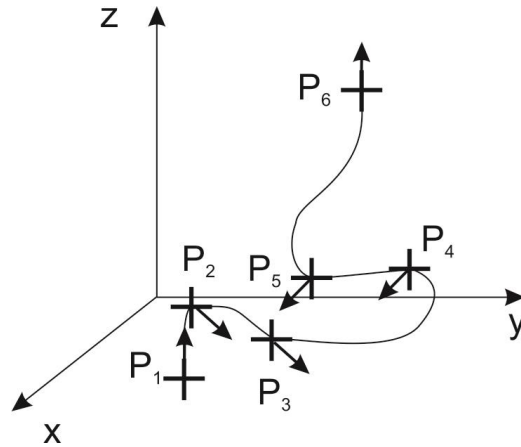


1. Ábra: Pályatervező helye a robotirányítási rendszerben

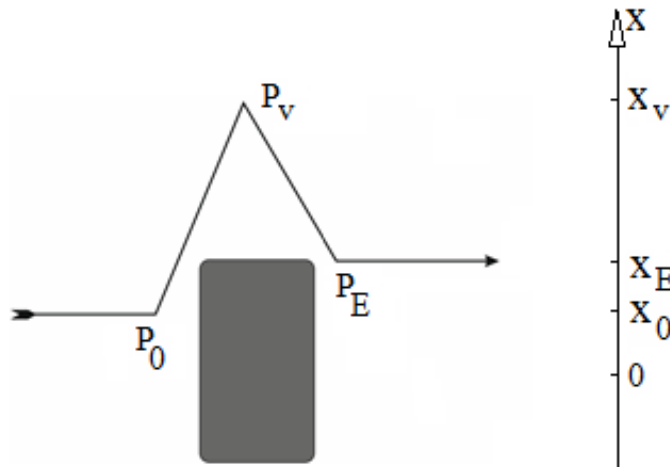
A robotirányítási feladat elvégzése során a robot végberendezése egy térbeli *pályapont sorozaton* kell áthaladjon ($\mathbf{P}_1, \mathbf{P}_2, \dots, \mathbf{P}_N$). Egyes pontokban a robot megállhat, amíg a végberendezés egy részfeladatot elvégez (például fúrási, szerelési feladat amikor csak a végberendezés dolgozik). A feladatok elvégzése történhet mozgás közben is (például festési, hegesztési feladatok). Egy pályapontot világkoordinátákban (a végberendezés munkaterében) 6 (vagy ennél kevesebb) komponenssel definiálunk. A komponensek a térbeli koordináták valamint a végberendezés térbeli orientációját definiáló három szög (lásd a 2. Ábrát):

$$\mathbf{P}_i = (x_i \quad y_i \quad z_i \quad \varphi_i \quad \xi_i \quad \theta_i)^T \quad (1)$$

A robotirányítási feladatnak megfelelő pályapont sorozatot kiegészíthetjük ún. *via* pontokkal (P_v), amennyiben a robot munkaterében akadályok vannak. Síkbeli mozgás esetében a *via* pont elhelyezésére lásd a 3. Ábrát.



2. Ábra: Robotpálya térben



3. Ábra: Via pont (P_v) a robotpályában

Egy szabadságfokot nézve a *pálya* (\mathbf{p}_1) egy időfüggvény, amely minden egyes időpillanatban megadja az előírt pozíciót ($x(t)$). Ennek az időfüggvénynek az értéktartománya tartalmazza a pályapontokat (interpolálás).

Az előírt sebesség ($v(t)$) az előírt pozíció deriváltja, az előírt gyorsulás (a) az előírt sebesség deriváltja:

$$\mathbf{p}_1(t) = \begin{pmatrix} x(t) \\ v(t) \\ a(t) \end{pmatrix} = \begin{pmatrix} x(t) \\ \dot{x}(t) \\ \dot{v}(t) \end{pmatrix} \quad (2)$$

Mintavételes megvalósítás esetében a pálya egy vektor, amely minden diszkrét időpillanathoz hozzárendeli az előírt pozíció-, sebesség- és gyorsulásértékeket.

1. Táblázat: A pálya (p_i) mintavételes megvalósítása

t	$t[1]$	$t[2]$...	$t[M]$
x	$x[1]$	$x[2]$...	$x[M]$
v	$v[1]$	$v[2]$...	$v[M]$
a	$a[1]$	$a[2]$...	$a[M]$

Két időpillanat közötti különbség a robotirányítási algoritmus mintavételi periódusa.

$$(t[k] - t[k-1] = T).$$

Több szabadságfok esetében a teljes pályát az egyes szabadságfokok pályáinak összessége definiálja:

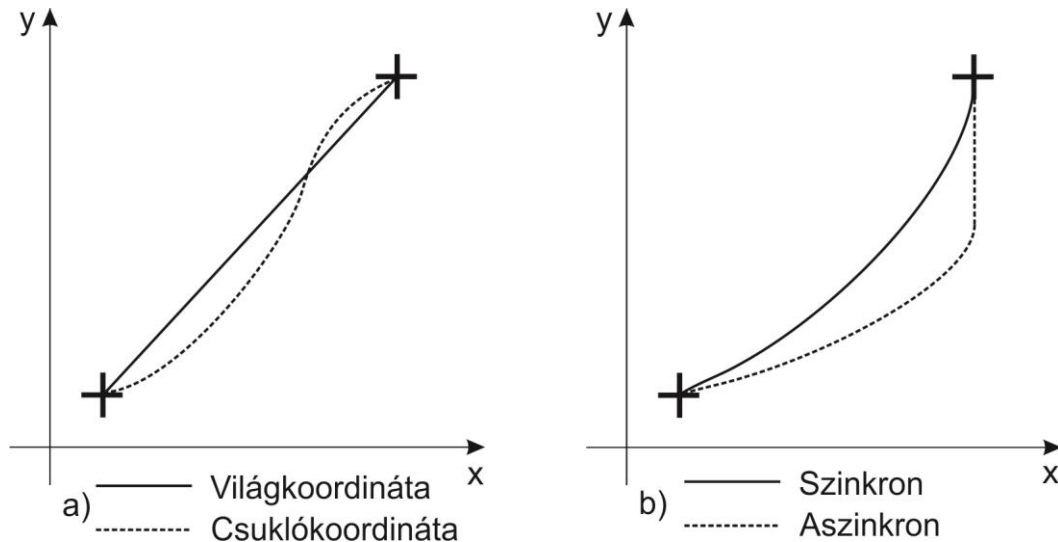
$$\mathbf{p}(t) = (\mathbf{p}_1 \quad \mathbf{p}_2 \quad \dots \quad \mathbf{p}_n)^T \quad (3)$$

A pálya tervezése történhet csuklókoordinátákban vagy világkoordinátákban. Amennyiben a pályát *csuklókoordinátákban* tervezzük, a robot csuklók beavatkozójának adjuk meg az előírt mozgását. Ebben az esetben a pályatervezés előnye, hogy az inverz geometriai feladatot csak a pályapontokra kell megoldani. A pályapontoknak megfelelő csuklópozíciókra fektetjük rá a robotpályát, tehát a pályát csuklókoordinátákban kapjuk meg. A módszer másik előnye, hogy a pálya tervezésénél kihasználhatjuk a csuklóbeavatkozók maximális sebességét illetve gyorsulását, ugyanis a sebességeket és gyorsulásokat is csuklókoordinátákban tervezzük. A módszer hátránya, hogy a végberendezés két pályapont között nem a pályapontokat összekötő egyenesen fog áthaladni, mivel a pályát nem végberendezés pozícióját definiáló világkoordinátákban történik.

Amennyiben a pályát *világkoordinátákban* tervezzük a pálya minden időpillanatban a végberendezés előírt mozgását adja meg. Így biztosítható például az, hogy a végberendezés a pályapontokat összekötő egyenesen fog áthaladni. Ugyanakkor komplexebb mozgásokat is előírhatunk a végberendezésnek, mint például harmonikus vagy körmozgást. Hátránya, hogy az irányítás megvalósításához a teljes pályára (az 1. Táblázat minden oszlopára) meg kell oldani az inverz geometriai feladatot. Ugyancsak hátrány, hogy a sebesség és gyorsulás is világkoordinátákban számolódik. Ennek az a következménye, hogy nem lehet kihasználni a beavatkozók által csuklókoordinátákban elérhető legnagyobb sebességet és gyorsulást a teljes pálya mentén, mivel a végberendezés sebessége és gyorsulása nem csak a beavatkozók sebességétől illetve gyorsulásától, hanem a csuklókonfigurációtól is függ a robot Jacobi mátrixán keresztül. ($\dot{\mathbf{x}} = J(\mathbf{q})\dot{\mathbf{q}}$).

Szinkron és aszinkronpályák: Több szabadságfokú robotok esetében minden szabadságfok mentén meg kell tervezni a pályát. Ebben az esetben előfordulhat, hogy valamelyik szabadságfok esetében egy pályaszakasz hamarabb végrehajtódik, mint a többi. Ilyenkor a pályatervezésnél két lehetőség van. Az első lehetőség, hogy mindegyik pályaelem esetében kihasználjuk a maximális sebességet és gyorsulást és minden pályapontban a gyorsabb szabadságfokok mentén a mozgás hamarabb befejeződik és ezek a pályapontban bevárják, hogy a többi szabadságfok esetében is végrehajtódjon a

mozgás (aszinkron pálya). A második esetben úgy állítjuk be az összes pályaelem maximális előírt sebességét és gyorsulását, hogy az összes szabadságfok mentén a mozgás ugyanabban az időpillanatban fejeződjön be. Két szabadságfok esetében lásd a 4. Ábrát. A 4.b Ábrán látható aszinkron pálya esetében az x tengely mentén a mozgás hamarabb befejeződött mint az y tengely mentén.



4. Ábra: Pályatervezési lehetőségek:
 a) – Világkoordinátában vs. Csuklókoordinátában
 b) – Szinkron vs. Aszinkron

Pályaelem polinomokon alapuló tervezése

Pályaelemnek nevezzük a robot pályájának két pályapont közötti részét egy szabadságfok mentén. A teljes robotpálya a pályaelemek sorozatából fog összeállni minden szabadságfok mentén.

A tervezés során meghatározzuk pályaelemhez tartozó előírt pozíciót, sebességet és gyorsulást. Ahhoz, hogy a robotpálya folytonos legyen, a pályapontokban a találkozó pályaelemek előírt sebességei, gyorsulásai, kezdő- illetve végértékei is meg kell, hogy egyezzenek.

A tervezéshez legyenek a bemeneti adatok:

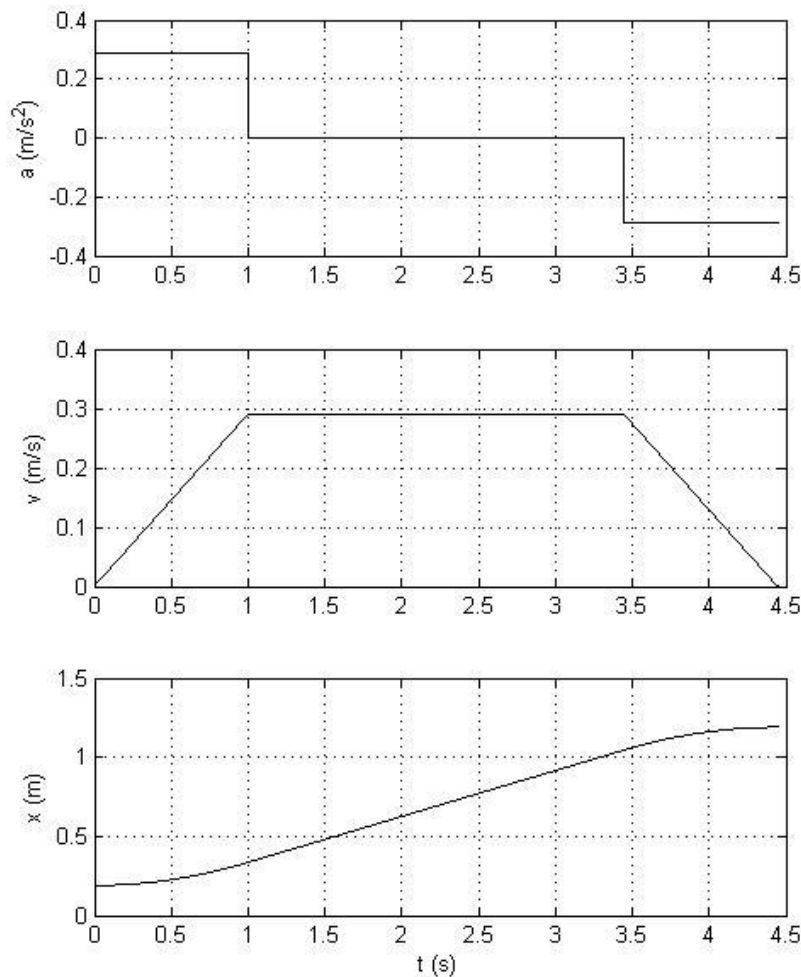
- kiindulópont: x_0
- végpont: x_E
- abszolút maximális sebesség: $v_{MAX} > 0$
- abszolút maximális gyorsulás: $a_{MAX} > 0$

A maximális sebesség csuklókoordinátákban meghatározható a beavatkozó maximális sebessége alapján. A maximális gyorsulás meghatározható a beavatkozó által

maximálisan kifejtett erő/nyomaték (F_{MAX}) illetve a maximális teher (m_{MAX}) ismeretében ($a_{MAX} = F_{MAX}/m_{MAX}$).

A tervezéshez feltételezzük, hogy a kiinduló- és a végpontokban a sebesség és gyorsulásértékek zérók, valamint a pályát a $t=0$ pillanattól számítjuk. Ugyancsak feltételezzük, hogy $0 \leq x_0 < x_E$.

A pályaelemet polinomok segítségével fogjuk leírni az idő függvényében. A tervezés biztosítja, hogy adott v_{MAX} és a_{MAX} mellett a pálya időben optimális legyen. A pályát az alábbi elv alapján tervezzük: a robotot gyorsítjuk maximális gyorsulással, amíg elérjük a maximális sebességet. Ezután a tartjuk a maximális sebességet nulla gyorsulás mellett. A pálya végén ugyanannyi időt, mint amennyit gyorsítottunk, annyit lassítunk (lásd az 5. Ábrát).



5. Ábra: Pályaelem polinomokon alapuló tervezése

Az 5. Ábrán látható a pályaelem három szakaszra bontható fel: gyorsuló- (1), konstans sebessé- (2) és lassuló szakaszra (3).

A gyorsuló szakaszon (1) a gyorsulás konstans tehát a sebesség első fokú polinommal, a pozíció másodfokú polinommal írható le. Legyen általánosan a polinomok alakja:

$$\begin{aligned}x_1(t) &= c_{x1}t^2 + b_{x1}t + a_{x1} \\v_1(t) &= b_{v1}t + a_{v1} \\a_1(t) &= a_{a1}\end{aligned}\tag{4}$$

Ebben a szakaszban a gyorsulás konstans, $a_{a1}=a_{MAX}$. Figyelembe véve, hogy $a_1(t) = \dot{v}_1(t)$, következik $b_{v1}=a_{MAX}$. Mivel a sebesség a $t=0$ pillanatban 0, következik $a_{v1} = 0$. Figyelembe véve, hogy $v_1(t) = \dot{x}_1(t)$, következik $c_{x1} = a_{MAX}/2$, valamint $b_{x1}=0$. Mivel a pozíció a $t=0$ pillanatban x_0 , következik $a_{x1}=x_0$.

Ugyancsak meghatározható a gyorsuló szakasz ideje valamint hossza.

$$\begin{aligned}t_1 &= v_{MAX} / a_{MAX} \\x_1 &= x_1(t_1) - x_0 = v_{MAX}^2 / 2a_{MAX}\end{aligned}\tag{5}$$

A konstans sebesség szakaszon (2) a gyorsulás zéró, így a sebesség és pozíció pályaelemek általánosan

$$\begin{aligned}x_2(t) &= b_{x2}(t - t_1) + a_{x2} \\v_2(t) &= a_{v2} \\a_2(t) &= 0\end{aligned}\tag{6}$$

Ebben a szakaszban a sebesség maximális $a_{v2}=v_{MAX}$. Mivel $v_2(t) = \dot{x}_2(t)$, $b_{x2}=v_{MAX}$. A $t=t_1$ pillanatban a pozíció $x_2(t_1)=x_1$, tehát $a_{x2}=x_1$.

Ugyancsak meghatározható a konstans sebesség szakasz befejezésének időpillanata és pozíciója. Kihasználjuk, hogy a gyorsulási és lassulási szakaszok hossza és időtartama egyenlők.

$$\begin{aligned}x_2 &= x_E - x_1 + x_0 \\t_2 &= (x_2 - x_1) / v_{MAX} + t_1\end{aligned}\tag{7}$$

A lassuló (3) szakaszon a pozíciót szintén másodfokú polinomokkal közelíthetjük meg.

$$\begin{aligned}x_3(t) &= c_{x3}(t - t_2)^2 + b_{x3}(t - t_2) + a_{x3} \\v_3(t) &= b_{v3}(t - t_2) + a_{v3} \\a_3(t) &= a_{a3}\end{aligned}\tag{8}$$

Ebben a szakaszban a gyorsulás konstans, $a_{a3} = -a_{MAX}$. Figyelembe véve, hogy $a_3(t) = \dot{v}_3(t)$, következik $b_{v3} = -a_{MAX}$. Mivel a sebesség a $t=t_2$ pillanatban v_{MAX} , következik $a_{v3} = v_{MAX}$. Figyelembe véve, hogy $v_3(t) = \dot{x}_3(t)$, következik $c_{x3} = -a_{MAX}/2$, valamint $b_{x3} = v_{MAX}$. Mivel a pozíció a $t=t_2$ pillanatban x_2 , következik $a_{x3} = x_2$.

Abban az esetben, hogyha a kiinduló pozíció és a végpozíció közötti távolság kicsi, előfordulhat, hogy a sebesség nem éri el a v_{MAX} értéket. Ebben az esetben a pálya csak egy gyorsuló és egy lassuló szakaszt fog tartalmazni. Annak a feltétele, hogy a pályaelem csak kétszakaszos legyen:

$$x_E - x_0 \leq 2(x_1 - x_0) \quad (9)$$

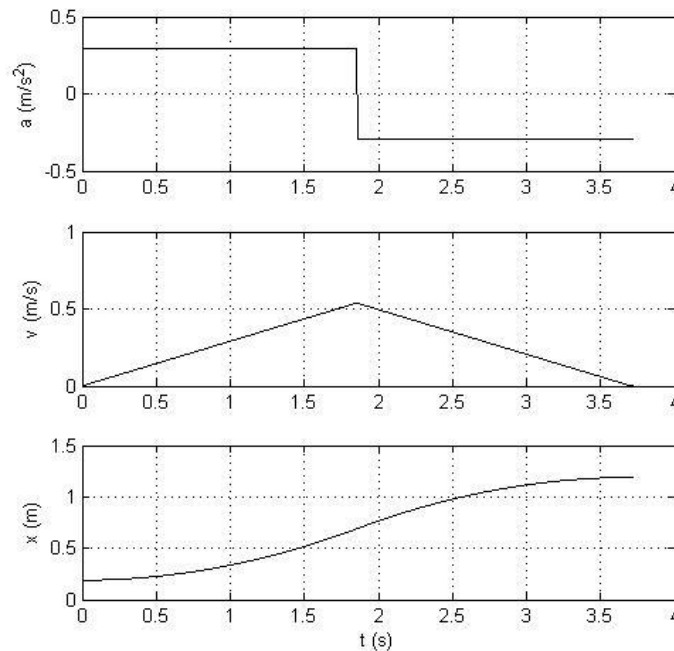
Ahol x_1 az (5) összefüggésben adott. Ebben az esetben a gyorsulási szakasz hossza illetve ideje:

$$x_{12} = (x_E - x_0) / 2$$

$$t_{12} = \sqrt{\frac{x_E - x_0}{a_{MAX}}}$$

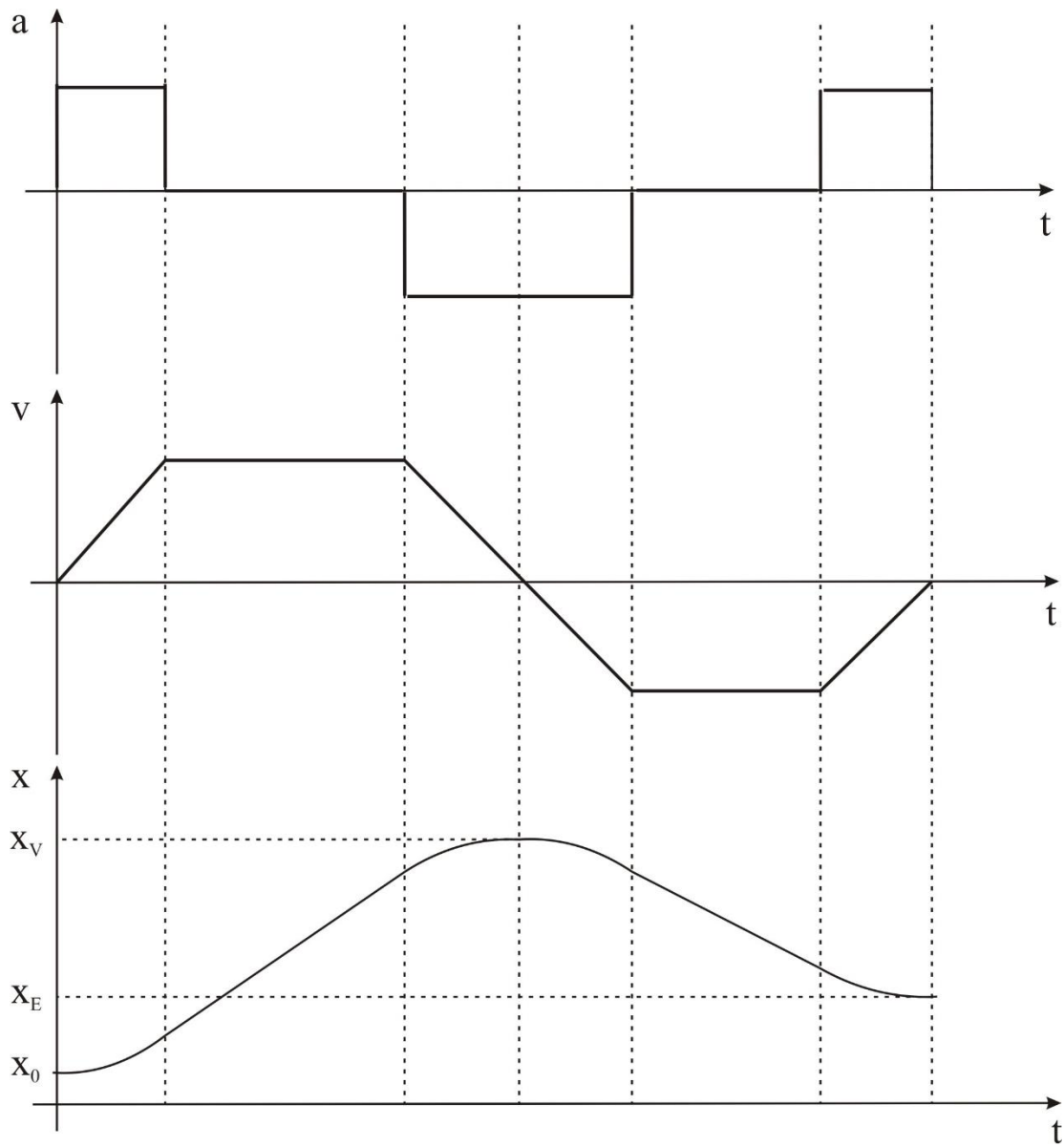
A bemutatott pályatervezési módszer könnyen általánosítható bármilyen kezdő- és végpozíció értékekre, figyelembe véve a pozícióértékek előjelét.

Más pályatípusok is elterjedtek a gyakorlatban, például tervezhetünk olyan pályát, amelyben a gyorsulás értéke folytonos, magasabb fokú polinomokat használva.



6. Ábra: Pályaelem polinomokon alapuló tervezése konstans sebességű szakasz nélkül

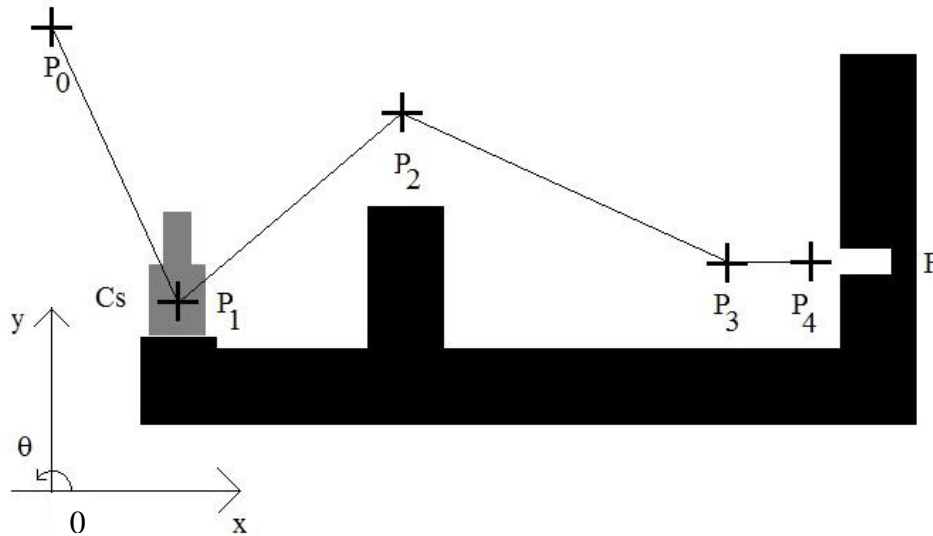
Egy via ponton történő áthaladás (lásd 3. Ábra) esetén, a robot pályát az $0x$ tengely mentén a 7. Ábra mutatja.



8. Ábra: Robotpálya via ponton történő áthaladás esetén

Példa: (Csap - furat feladat)

Legyen a 8. ábrán látható munkatér.



7. Ábra: A csap – furat feladat

Feladat: A feladat a csap (Cs) elhelyezése a munkatérben levő furatba (F) egy megfogó-végberendezéssel rendelkező robot segítségével. Fekete jelöli a munkatérben található akadályt. Tervezzük meg robot végberendezésének pályáját világkoordinátákban a feladatnak megfelelően.

Síkbeli mozgást feltételezünk.

Megoldás:

- Vegyünk fel egy referencia koordinátarendszert ($x0y$), lásd az ábrát.

- Meghatározzuk a feladatnak megfelelő jellegzetes pontokat a munkatérben ($P_i(x_i, y_i, \theta_i)$):

P_0 – a robot kezdőpozíciója

P_1 – a csap kezdőpozíciója

P_2 – via-pont, az akadály elkerüléséhez

P_3 – a furat megközelítésének pozíciója

P_4 – a csap végpozíciója

- A feladatnak megfelelő mozgássorozat:

I. A robot megközelíti a csapot. ($P_0 \rightarrow P_1$)

II. A robot megfogja a csapot. (P_1)

III. IV. A robot megközelíti a furatot a via-ponton keresztül. ($P_1 \rightarrow P_2 \rightarrow P_3$)

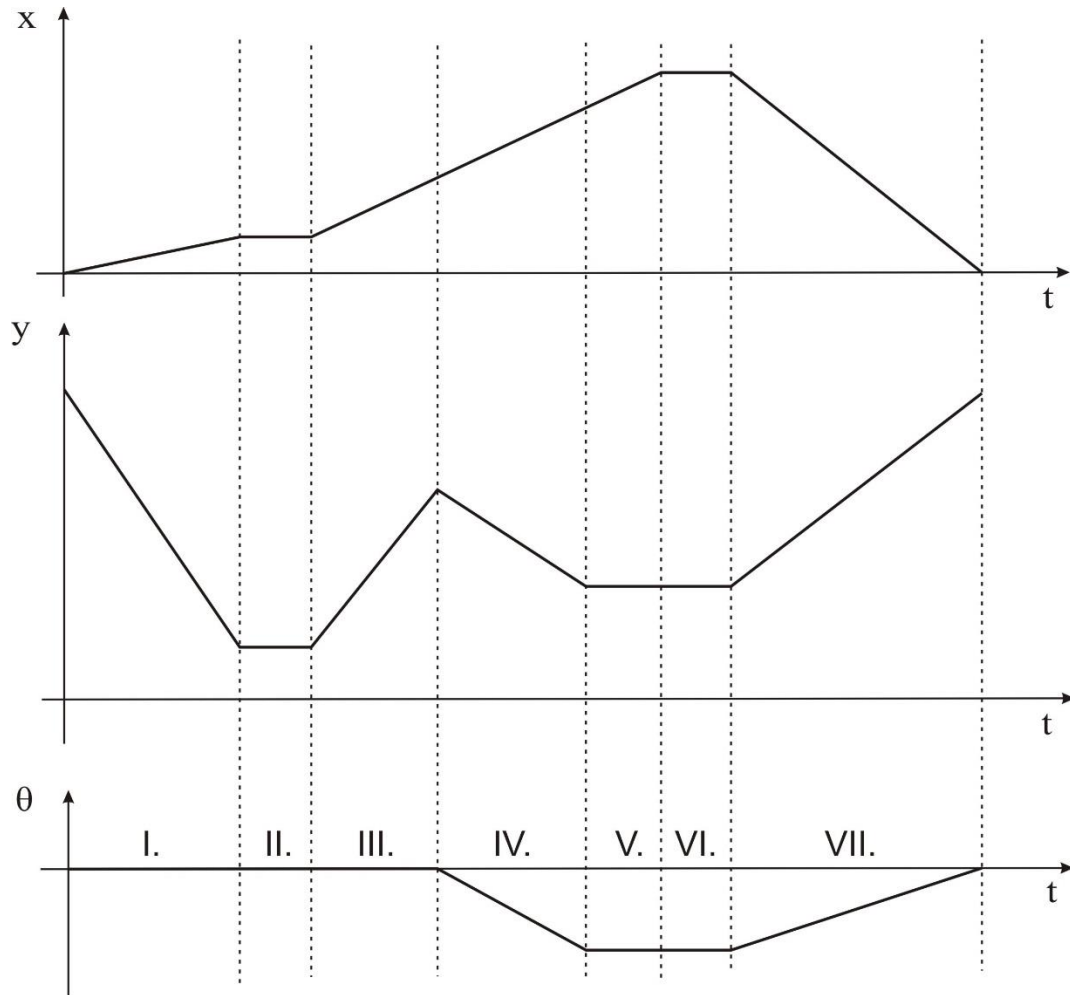
V. A robot betolja csapot a furatba. ($P_3 \rightarrow P_4$)

VI. A robot elengedi a csapot. (P_4)

VII. A robot visszamegy a kiinduló pozícióba. ($P_4 \rightarrow P_0$)

A II. és VI. szekvenciákban a megfogó nem mozdul el, ezekben a szekvenciákban csak a megfogás/elengedés idejének megfelelő késleltetést feltételezünk.

A robot pozíciópályája a munkatér koordinátái mentén az alábbi ábrán látható.



8. Ábra: A robot végberendezésének pályája a csap furat feladat esetén

Robotok Irányítása

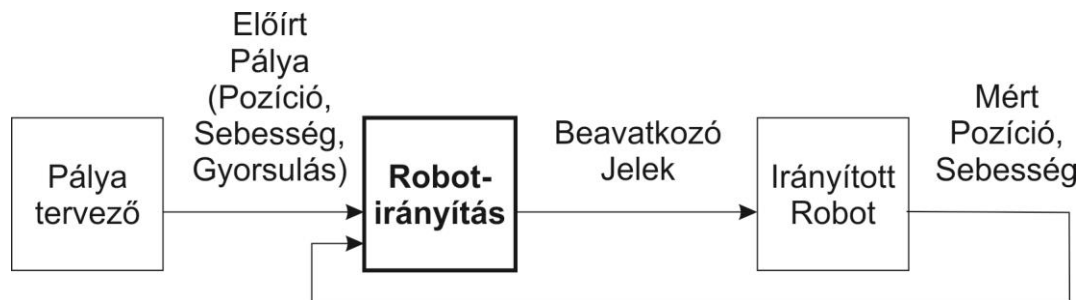
Bevezető

A robotirányítási algoritmus felelős azért, hogy a robot végberendezése eljusson egy megadott célkonfigurációba, vagy végighaladjon egy megadott pályán.

Alkalmazástól függően megkülönböztetünk szabad mozgást illetve kényszermozgást. *Szabad mozgás* esetében a robot végberendezése nem hatnak külső erők, nyomatékok, szabadon mozog a térben, nem számítunk kontaktusra a környezettel.

Kényszermozgás esetében a végberendezés kapcsolatba kerül a környezettel és ennek megfelelően a robot mozgását külső erőhatások is befolyásolják, amelyet figyelembe kell vegyünk az irányításnál. Ebben az esetben célszerű a végberendezést erőmérő érzékelőkkel felszerelni.

Szabad mozgást megvalósító irányításnál megkülönböztetünk *Ponttól-Pontig (PTP – Pont To Point) irányítást* és *pályakövetést megvalósító irányítást*. Az első esetben csak a pályapontsorozatot adjuk meg a robotmozgás előírásánál, az irányítás célja hogy a robot az adott térbeli konfigurációt véges időn belül adott pontossággal elérje. Pályakövetés esetében a mozgás minden pillanatában előírjuk a pozíciót, sebességet illetve gyorsulást. Az irányítási algoritmus bemenete a pályatervező által kiszámított előírt mozgás (pozíció illetve sebesség, gyorsulás) a kimenete (beavatkozó jel) a csukló erők/nyomatékok, amelyeket a beavatkozók kell, hogy kifejtsenek (lásd 1. Ábra).



1. Ábra Az irányítási algoritmus helye a robotirányítási rendszerben

Ponttól-Pontig Irányítás megvalósítása PD+G szabályozóval

Az irányítást csuklókoordinátákban tervezzük, az előírt pozíciót csuklókoordinátákban adjuk meg. Ponttól-Pontig irányítás esetén az előírt pozíció konstans:

$$\mathbf{q}_{\text{ref}} = \text{const.} \quad (1)$$

Az irányítás megvalósításához a csuklópozíciót (\mathbf{q}) szükséges mérni. A beavatkozó jelet a PD (Proporcionális-Derivatív) irányítási algoritmus alapján számíthatjuk kiegészítve egy,

a gravitációs hatást kompenzáló taggal. Az i ik csuklóra az irányítást az alábbi formában számítjuk:

$$\tau_i(t) = K_{P_i} \left(e_i(t) + T_{d_i} \frac{de_i}{dt} \right) + G_i(\mathbf{q}), \quad e_i = q_{ref_i} - q_i \quad (2)$$

$K_{P_i} \geq 0$ – proporcionális erősítés

$T_{d_i} > 0$ – deriválási idő

A beavatkozó jelet a teljes robotra az alábbi alakban írhatjuk fel:

$$\boldsymbol{\tau} = \begin{pmatrix} \tau_1 \\ \tau_2 \\ \vdots \\ \tau_n \end{pmatrix} = \begin{pmatrix} K_{P1} & & & 0 \\ & K_{P2} & & \\ & & \ddots & \\ 0 & & & K_{Pn} \end{pmatrix} \begin{pmatrix} e_1 \\ e_2 \\ \vdots \\ e_n \end{pmatrix} + \begin{pmatrix} T_{d1} & & & 0 \\ & T_{d2} & & \\ & & \ddots & \\ 0 & & & T_{dn} \end{pmatrix} \begin{pmatrix} \dot{e}_1 \\ \dot{e}_2 \\ \vdots \\ \dot{e}_n \end{pmatrix} + \begin{pmatrix} G_1(\mathbf{q}) \\ G_2(\mathbf{q}) \\ \vdots \\ G_n(\mathbf{q}) \end{pmatrix}$$

$$\boldsymbol{\tau} = K_P \left(\mathbf{e} + T_d \frac{d\mathbf{e}}{dt} \right) + \mathbf{G}(\mathbf{q}) \quad (3)$$

A robotirányítási rendszer analízisét a Lyapunov tétel segítségével végezhetjük el. Igazolni fogjuk, hogy a robotirányítási rendszer stabil valamint, hogy az \mathbf{e} szabályozási hiba 0-ba konvergál. Az irányítás analíziséhez a robot dinamikus modelljét alkalmazzuk:

$$H(\mathbf{q})\ddot{\mathbf{q}} + \mathbf{C}(\mathbf{q}, \dot{\mathbf{q}}) + \mathbf{G}(\mathbf{q}) = \boldsymbol{\tau} \quad (4)$$

A Lyapunov tétel:

Legyen az

$$\dot{\mathbf{x}} = \mathbf{f}(\mathbf{x}) \quad (*)$$

dinamikus rendszer, ahol $\mathbf{x} \in R^n$.

Definíciók: Vezessük be az egyensúlyi állapot fogalmát. Az \mathbf{x}^* állapot a rendszer egyensúlyi állapota, ha a t^* pillanatban a rendszer állapota \mathbf{x}^* , akkor bármely $t > t^*$ pillanatban az állapot \mathbf{x}^* marad.

Az $\mathbf{x} = \mathbf{0}$ egyensúlyi állapot Lyapunov értelemben aszimptotikusan stabil a $t = t_0$ időpillanatban, ha létezik $r(t_0) > 0$ úgy, hogy ha $\|\mathbf{x}(t_0)\| < r$ akkor $\|\mathbf{x}(t)\| \rightarrow 0$, ha $t \rightarrow \infty$.

Tétel: A (*) rendszer $\mathbf{x} = \mathbf{0}$ egyensúlyi állapota aszimptotikusan stabil ha létezik egy $V(\mathbf{x})$ Lyapunov energiafüggvény, amelyre igaz, hogy:

- $V(\mathbf{x}) > 0$, ha $\mathbf{x} \neq \mathbf{0}$,
- $V(\mathbf{x}) = 0$, ha $\mathbf{x} = \mathbf{0}$,
- $\dot{V}(\mathbf{x}) < 0$, ha $\mathbf{x} \neq \mathbf{0}$.

Rendeljük a robotirányítási rendszerhez az alábbi Lyapunov függvényt:

$$V(t) = \frac{1}{2} \dot{\mathbf{q}}^T H(\mathbf{q}) \dot{\mathbf{q}} + \frac{1}{2} \mathbf{e}^T K_P \mathbf{e} \quad (5)$$

$H(\mathbf{q}) > 0$ a robot pozitív definit inerciamátrixa, $K_P > 0$ pozitív diagonális mátrix, tehát $V(t) \geq 0$.

Lyapunov függvény deriváltja:

$$\dot{V}(t) = \frac{1}{2} \ddot{\mathbf{q}}^T H(\mathbf{q}) \dot{\mathbf{q}} + \frac{1}{2} \dot{\mathbf{q}}^T \dot{H}(\mathbf{q}) \dot{\mathbf{q}} + \frac{1}{2} \dot{\mathbf{q}}^T H(\mathbf{q}) \ddot{\mathbf{q}} + \frac{1}{2} \dot{\mathbf{e}}^T K_P \mathbf{e} + \frac{1}{2} \mathbf{e}^T K_P \dot{\mathbf{e}} \quad (6)$$

Kihasználva, hogy bármely szimmetrikus A mátrix esetén igaz, hogy $\mathbf{x}^T A \mathbf{y} = \mathbf{y}^T A \mathbf{x}$, következik:

$$\dot{V}(t) = \dot{\mathbf{q}}^T H(\mathbf{q}) \ddot{\mathbf{q}} + \frac{1}{2} \dot{\mathbf{q}}^T \dot{H}(\mathbf{q}) \dot{\mathbf{q}} + \dot{\mathbf{e}}^T K_P \mathbf{e} \quad (7)$$

Az (1) összefüggésből következik, hogy $\dot{\mathbf{e}} = -\dot{\mathbf{q}}$.

$$\dot{V}(t) = \dot{\mathbf{q}}^T H(\mathbf{q}) \ddot{\mathbf{q}} + \frac{1}{2} \dot{\mathbf{q}}^T \dot{H}(\mathbf{q}) \dot{\mathbf{q}} - \dot{\mathbf{q}}^T K_P \mathbf{e} \quad (8)$$

Behelyettesítve a (8) egyenletbe a $H(\mathbf{q}) \ddot{\mathbf{q}}$ kifejezést a robot (4) dinamikus modelljéből, amelyben a $\boldsymbol{\tau}$ bemenetet a PD+G (3) irányítási algoritmus adja, kapjuk, hogy:

$$\begin{aligned} H(\mathbf{q}) \ddot{\mathbf{q}} &= -C(\mathbf{q}, \dot{\mathbf{q}}) \dot{\mathbf{q}} - G(\mathbf{q}) + \boldsymbol{\tau} = -C(\mathbf{q}, \dot{\mathbf{q}}) \dot{\mathbf{q}} - G(\mathbf{q}) + K_P \mathbf{e} + K_P T_d \dot{\mathbf{e}} + G(\mathbf{q}) \\ \dot{V}(t) &= \dot{\mathbf{q}}^T (-C(\mathbf{q}, \dot{\mathbf{q}}) \dot{\mathbf{q}} + K_P \mathbf{e} + K_P T_d \dot{\mathbf{e}}) + \frac{1}{2} \dot{\mathbf{q}}^T \dot{H}(\mathbf{q}) \dot{\mathbf{q}} - \dot{\mathbf{q}}^T K_P \mathbf{e} \\ \dot{V}(t) &= \dot{\mathbf{q}}^T \left(-C(\mathbf{q}, \dot{\mathbf{q}}) + \frac{1}{2} \dot{H}(\mathbf{q}) \right) \dot{\mathbf{q}} + \dot{\mathbf{q}}^T K_P \mathbf{e} + \dot{\mathbf{q}}^T K_P T_d \dot{\mathbf{e}} - \dot{\mathbf{q}}^T K_P \mathbf{e} \end{aligned} \quad (9)$$

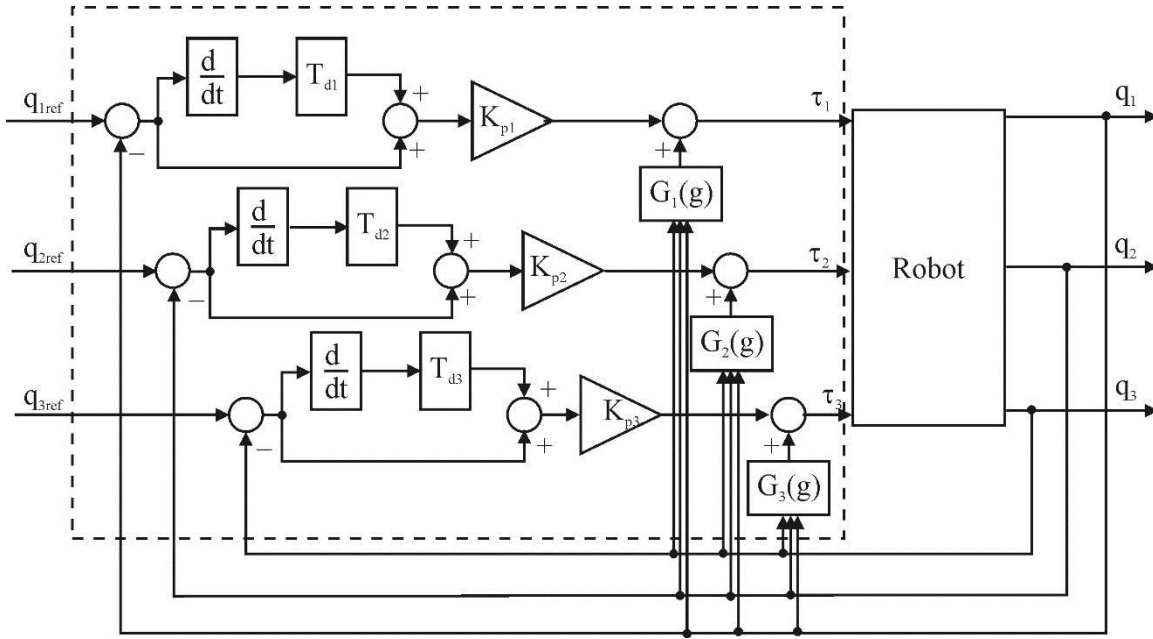
A robot dinamikus modelljének tulajdonsága alapján $\dot{\mathbf{q}}^T \left(-C(\mathbf{q}, \dot{\mathbf{q}}) + \frac{1}{2} \dot{H}(\mathbf{q}) \right) \dot{\mathbf{q}} = 0$;

ugyanakkor $\dot{\mathbf{e}} = -\dot{\mathbf{q}}$. Ennek megfelelően:

$$\dot{V}(t) = -\dot{\mathbf{q}}^T K_P T_d \dot{\mathbf{q}} \quad (10)$$

$K_P T_d$ pozitív definit, tehát $\dot{V}(t) < 0 \forall \dot{\mathbf{q}} \neq 0$. Tehát a robotirányítási rendszer $\mathbf{e} = \mathbf{0}$ egyensúlyi pontja aszimptotikusan stabil. A Lyapunov energiafüggvény megfogalmazásából ugyancsak következik, hogy a PD+G irányítás biztosítja azt, hogy a robot eljusson az előírt konfigurációba: $\mathbf{e} = \mathbf{q}_{ref} - \mathbf{q} \rightarrow 0$ ha $t \rightarrow \infty$.

Az irányítási rendszer tömbvázlata 3 szabadságfokú robotok esetében a 2. Ábrán látható.



2. Ábra: PD+G robotirányítás DOF=3 esetében

Robotok Ponttól-Pontig irányítása PID szabályozóval

A szabályozó integráló komponense segítségével a gravitációt kompenzáló tagot válthatjuk ki a PD+G szabályozóból. Az integráló komponens képes kompenzálni a szakaszosan konstans bemeneti terhelés hatását az állandósult állapotbeli hibára, vagyis konstans pozíció referencia mellett az állandósult állapotbeli hiba zéró lesz akkor is, ha a bemeneten konstans terhelés van. Amennyiben a robot a referencia konfiguráció közelében van, feltételezhetjük, hogy a gravitációs komponens megközelíthető egy konstanssal és a robot lassan mozog: $\mathbf{G}(\mathbf{q}) \approx \mathbf{G}(\mathbf{q}_{ref})$, $\dot{\mathbf{q}} \approx 0$.

A PID robotszabályozó alakja:

$$\boldsymbol{\tau}(t) = K_P \left(\mathbf{e}(t) + T_D \frac{d\mathbf{e}}{dt} + \frac{1}{T_I} \int_0^t \mathbf{e}(\sigma) d\sigma \right) \quad (11)$$

$$\frac{1}{T_I} = \begin{pmatrix} \frac{1}{T_{I1}} & & 0 \\ & \frac{1}{T_{I2}} & \\ 0 & & \ddots \\ & & & \frac{1}{T_{In}} \end{pmatrix}, \quad \int_0^t \mathbf{e}(\sigma) d\sigma = \begin{pmatrix} \int_0^t e_1(\sigma) d\sigma \\ 0 \\ \int_0^t e_2(\sigma) d\sigma \\ 0 \\ \vdots \\ \int_0^t e_n(\sigma) d\sigma \\ 0 \end{pmatrix}$$

A PID szabályozó esetében az i ik csukló beavatkozó jelének számításához csak az i ik csukló mért pozíciójára van szükség, a beavatkozó jel számításához nem szükséges ismerni a többi csukló mért pozícióját (*decentralizált szabályozás*). Ez egyszerűbbé teszi a szabályozó implementálását.

Vegyük figyelembe az irányított robotmodellben a súrlódási komponenst is:

$$H(\mathbf{q})\ddot{\mathbf{q}} + C(\mathbf{q}, \dot{\mathbf{q}})\dot{\mathbf{q}} + \mathbf{G}(\mathbf{q}) = \boldsymbol{\tau} - \boldsymbol{\tau}_F \quad (12)$$

A modellben súrlódási hatást a Coulomb + Viszkózus modell írja le, vagyis az i ik csuklóban:

$$\tau_{Fi} = F_C \operatorname{sgn}(\dot{q}_i) + F_V \dot{q}_i \quad (13)$$

A szabályozó paramétereinek tervezéséhez a robotcsukló linearizált modelljét használjuk fel. Linearizáljuk a modellt $\mathbf{q}=\mathbf{q}_{ref}$ és zéró sebesség körül. Ugyanakkor feltételezzük, hogy a H inerciamátrixban az átlón található elemek a dominánsak, a keresztthatások elhanyagolhatóak. Ebben az esetben az i ik csukló modellje:

$$m_{ii}(\mathbf{q}_{ref})\ddot{q}_i + F_V \dot{q}_i + G_i(\mathbf{q}_{ref}) + F_C \operatorname{sgn}(\dot{q}_i) = \tau_i \quad (14)$$

Az egyenletben m_{ii} a H mátrix (i,i) elemét jelöli. A viszkózus súrlódási komponenst nem hanyagoljuk el, mert sebességben lineáris.

A robotcsukló dinamikája PID szabályozóval:

$$m_{ii}\ddot{q}_i + F_V \dot{q}_i = K_{Pi}(q_{refi} - q_i) + K_{Pi}T_{Di}(\dot{q}_{refi} - \dot{q}_i) + \frac{K_{Pi}}{T_{li}} \int_0^t (q_{refi} - q_i) d\sigma - d_i \quad (15)$$

$$d_i = G_i + F_C$$

A gravitáció és a Coulomb súrlódás együttes hatása a szabályozási körben bemeneti terhelésként jelenik meg (d_i).

Az $e_i = q_{refi} - q_i$ csuklópozíció-szabályozási hiba dinamikája:

$$m_{ii}\ddot{e}_i + (K_{Pi}T_{Di} + F_V)\dot{e}_i + K_{Pi}e_i + \frac{K_{Pi}}{T_{li}} \int_0^t e_i d\sigma = d_i \quad (16)$$

Mivel d_i konstans, a (16) az egyenlet mindkét oldalát deriválva kapjuk:

$$\ddot{e}_i + \frac{K_{Pi}T_{Di} + F_V}{m_{ii}} \dot{e}_i + \frac{K_{Pi}}{m_{ii}} e_i + \frac{K_{Pi}}{m_{ii}T_{li}} e_i = 0 \quad (17)$$

A szabályozóparaméterek meghatározásához alkalmazhatjuk a referencia modell alapú tervezést. Legyen a robotcsukló kívánt dinamikáját leíró differenciálegyenlet:

$$\ddot{e}_i + p_2\dot{e}_i + p_1e_i + p_0e_i = 0 \quad (18)$$

Az egyenletben a p_2 , p_1 , p_0 a referencia-karakterisztikus polinom együtthatói. A szabályozó K_{Pi} , T_{Ii} , T_{Di} paramétereit az alábbi egyenletrendszer megoldásából kapjuk:

$$\begin{aligned}\frac{K_{Pi}T_{Di} + F_V}{m_{ii}} &= p_2 \\ \frac{K_{Pi}}{m_{ii}} &= p_1 \\ \frac{K_{Pi}}{m_{ii}T_{Ii}} &= p_0\end{aligned}\tag{19}$$

A PID szabályozó segítségével nem csak a gravitációs komponenst, hanem a konstans Coulomb súrlódási komponenst is kompenzálhatjuk. Amennyiben a robotsukló áttételeiben domináns a PD+G szabályozót is kibővíthetjük PID+G szabályozóra.

Feladat: A (14) modellt felhasználva alkalmazzuk a referencia modell alapú szabályozóparaméter tervezést a PD+G típusú szabályozásra.